1 論文種別:症例報告

2

- 3 出血発症多発性硬膜動静脈瘻に対し mastoid emissary vein を介し
- 4 た経静脈的塞栓術を組み合わせて治療した1例

5

- 6 岩橋 洋文 1,藤田 敦史 2,田中 宏知 1,池田 充 1,森川 雅史
- 7 1, 甲村 英二 2

8

- 9 1 宗教法人在日本南プレスビテリアンミッション 淀川キリスト教
- 10 病院 脳神経外科
- 11 2 神 戸 大 学 大 学 院 医 学 系 研 究 科 脳 神 経 外 科 学 分 野

12

- 13 連絡先:岩橋 洋文
- 14 宗教法人在日本南プレスビテリアンミッション 淀川キリスト教病
- 15 院 脳神経外科
- 16 〒 533-0024 大阪府大阪市東淀川区柴島 1-7-50
- 17 TEL: 06-6322-2250 内線 8713
- 18 Mail: hirofumi.iwahashi@gmail.com

19

- 20 キーワード:多発性硬膜動静脈瘻,脳出血, mastoid emissary vein,
- 21 経静脈的塞栓術, 経大腿静脈

- 23 宣言: 本論文を, 日本脳神経血管内治療学会 機関誌「JNET
- 24 Journal of Neuroendovascular Therapy」に投稿するにあたり,筆

- 25 頭著者、共著者によって、国内外の他雑誌に掲載ないし投稿されて
- 26 いないことを誓約致します.

1 和文要旨

- 2 Objective: 大腿静脈経由による mastoid emissary vein (MEV)
- 3 を介した経静脈的塞栓術(TVE)を行った一例を報告する.
- 4 Case presentation:右前頭葉皮質下出血で発症した 52 歳男性.
- 5 右横静脈洞-S 状静脈洞(TS-SS)部,上矢状静脈洞(SSS)部に皮質静
- 6 脈逆流を伴った多発性硬膜動静脈瘻 (dAVF) を認めた. TS-SS 部
- 7 病変に対し,経大腿静脈的に MEV 経由で TVE を行い,二期的に
- 8 SSS 部 dAVF に 対 し TVE を 施 行 , 両 病 変 と も 完 全 閉 塞 が 得 ら れ た .
- 9 Conclusion: isolate された TS-SS 部 dAVF に対して MEV は有用
- 10 なアクセスルートである.

11

12 緒言

- 13 皮質静脈逆流を伴う頭蓋内硬膜動静脈瘻(dural arteriovenous
- 14 fistula; dAVF)においては、年間死亡率 10.4%、頭蓋内出血発症率
- 15 は 8.1% と 予 後 不 良 で あ り 、 積 極 的 に 治 療 を 行 う べ き と さ れ て い る 1).
- 16 また、頭蓋内多発性 dAVF の頻度は 6.7~8.1%と決して稀ではない
- 17 が、その存在部位には一定の傾向はないとされる 2,3). 本疾患に対
- 18 する治療の中心は血管内治療であり、現段階では根治性の高い経静
- 19 脈的塞栓術(transvenous embolization; TVE)が選択されることが
- 20 多い. 今回我々は、脳出血で発症した多発性頭蓋内 dAVF に対し、
- 21 段階的に TVE を行うことで根治が得られた症例を経験した. 本報
- 22 告では, isolated された横静脈洞(transverse sinus; TS)-S 状静脈
- 23 洞(sigmoid sinus; SS)部病変に対して,経大腿静脈アプローチによ
- 24 る mastoid emissary vein; MEV 経由の TVE の有効性を報告する.

- 25 同部位に発生する isolate された病変において、静脈洞を介さず流
- 26 出路になり得る MEV を経皮的に穿刺し TVE を行ったとの報告が散
- 27 見される 4,5)が、血管撮影室で経皮的に MEV を穿刺することは必ず
- 28 しも容易ではない. MEV は後頭下静脈叢を介して深頚静脈(Deep
- 29 Cervical Vein; DCV) へ流入し、第七頚椎よりも尾側で椎骨静脈に注
- 30 ぐ 6)ことから、経大腿静脈的にもアプローチが可能であり、その有
- 31 用性を報告する.

- 33 症例呈示
- 34 症例:52 歳男性
- 35 主訴:構音障害,左不全片麻痺
- 36 既往歷:高血圧症
- 37 生活歴: 飲酒 ビール 1 缶、日本酒 2 合/日 喫煙歴なし
- 38 現病歴: 201X 年入浴後構音障害を自覚,その後転倒し左不全片麻痺
- 39 を認めたため当院に救急搬送された.頭部単純 CT で右前頭葉に脳
- 40 内出血(4cm×5cm×4cm, 推定 40ml)を認めたため精査加療目的に入
- 41 院となった.
- 42 入院時神経学的所見: Glasgow Coma Scale; GCS E4V5M6, 左半側
- 43 空間無視,構音障害,左高度不全片麻痺(Manual Muscle Test;
- 44 MMT 上肢 0/5, 下肢 3/5)を認めた.
- 45 **神経放射線学的所見**: 頭部単純 CT では右前頭葉に脳内血腫を認め
- 46 た(Fig. 1A). また頭部単純 MRI では T2 強調画像において両側大脳
- 47 半球に発達した皮質静脈の flow void を認め(Fig. 1B, C), MRA では
- 48 右 TS, SS が描出されており(Fig. 1D), dAVF が疑われた. DSA では

- 49 右後頭動脈(Occipital Artery; OA)から分枝する stylomastoid
- 50 branch⁷⁾ を流入動脈とし右 TS-SS 部にシャントを有し,
- 51 temporobasal vein; TBV, Vein of Labbe へ流出する dAVF(Borden
- 52 type III, Cognard type III)を認めた(Fig. 2A, B, C). 一部は右 MEV
- 53 への流出を認めた. また左 OA, 両側浅側頭動脈(Superficial
- 54 Temporal Artery; STA), 両側中硬膜動脈(Middle Meningial
- 55 Artery; MMA) を 流 入 動 脈 と し , SSS に シ ャ ン ト を 有 す る
- 56 dAVF(Borden type II, Cognard type II a+b) も認めた. 両側大脳半
- 57 球の皮質静脈への逆流を伴っており、著明な静脈鬱滞を認めた(Fig.
- 58 **2C**).
- 59 治療方針:皮質静脈への逆流を伴った出血発症の多発性 dAVF であ
- 60 り、再出血の危険性が高いと考え治療を計画した.治療の順序とし
- 61 て、右前頭葉の脳内血腫の発症に寄与したと思われる右 TS-SS 部
- 62 dAVF の 治療 を 優 先 し て 行 う こ と と し 、 根 治 目 的 に TVE を 行 う 方 針
- 63 とした.
- 64 第1回血管内治療:発症3日目に全身麻酔,ヘパリン持続投与下に
- 65 左右大腿動脈,右大腿静脈に 7Fr long introducer を留置し,左右総
- 66 頸動脈(Common Carotid Artery; CCA)に 7Fr Roadmaster STR
- 67 90cm(グッドマン, 愛知)を留置した. 右 OA に 4Fr Celurean
- 68 125cm(メディキット, 東京) を誘導しコントロール撮影用の DSA
- 69 を施行した(Fig. 3A, B). シャントは右 TS-SS 接合部付近と, SS 下
- 70 部に存在すると考えられたが、右 TS, SS はいずれも閉塞しており、
- 71 MEV から DCV ~流出していた(Fig. 3B). 比較的直線的な走行であ
- 72 る DCV を経由し MEV ヘアプローチする方針とした. 7Fr Fubuki

73 Hard STR 90cm(朝日インテック, 愛知), 5Fr JB2 125cm(メディキ ット, 東京), 0.035inch ラジフォーカスガイドワイヤー 220cm(テ 74ルモ,東京)を右鎖骨下静脈まで進めていった.DCVは鎖骨下静脈合 75流 部 直 前 で 高 度 に 屈 曲 し (Fig. 3C)、ガイディングカテーテルの 通 過 76 77に難渋したが, Amplatz Super Stiff 300cm(Boston Scientific, Natick, MA, USA)を用い血管を進展させることで 7Fr Fubuki を進 78 めることができ、MEV へ 4Fr Celurean を誘導した(Fig. 3D). 7980 Excelsion SL-10 microcatheter STR(Stryker, Neurovascular, 81 Fremont, CA, USA), 0.012inch GT ワイヤー double angle(テル モ・クリニカルサプライ, 岐阜), 同 45°(同)を MEV から SS 下端に 8283 誘 導 し , 2 本 に 分 か れ て い る 静 脈 洞 の 背 側 側 に 誘 導 し た . こ こ か ら SS 下端直前までを Target Helical Ultra Detachable Coil(Stryker, 84 Neurovascular, Fremont, CA, USA) $\varepsilon \, \mathcal{P} \, \mathcal{V} \, \mathcal{D} - \mathcal{E} \, \mathcal{L} \, (\mathbf{Fig. 3D})$, 85 Target XL mini(同), OrbitGalaxy Helical(Codman & Shurtleff, 86 Johnson & Johnson, Raynham, MA, USA), OrbitGalaxy Fill(同) 87 88 らを用いて塞栓した.背側の罹患静脈洞を閉塞した後の撮影では、 残存している腹側静脈洞にシャントが残存し、皮質静脈であるTBV、 89 90 Vein of Labbe への逆流が認められたため(Fig. 3E)、マイクロカテ ーテルを腹側側の SS に誘導し、逆流していた皮質静脈である TBV, 91 92Vein of Labbe の起始部を閉塞したのちに, TS-SS接合部付近のシャ 93 ント付近から腹側の罹患静脈洞を閉塞し、stylomastoid branch が 94流入している SS 下端まで順次閉塞した(Fig. 3F). 右総頸動脈撮影 にてシャントおよび皮質静脈への逆流の消失と、SSS部 dAVFによ 95る静脈鬱滞が大きく悪化していないことを確認し手技を終了した. 96

- 97 造影剤使用量が 230ml となっており、SSS 部 dAVF については後日
- 98 治療を行うこととした. 鎮静, 挿管下に ICU に帰室した.
- 99 **第 1 回 血 管 内 治 療 後**:翌日 の 頭 部 単 純 CT, MRI に て 血 腫 の 増 大 や 新
- 100 規頭蓋内出血、梗塞無きことを確認し鎮静を解除、抜管した、麻酔
- 101 からの覚醒は良好で術前後で神経学的症状の悪化を認めなかった.
- 102 第2回血管内治療: 第1回の治療から9日後に全身麻酔下に開存し
- 103 た左 JV 経由で SSS 部 dAVF に対して TVE を行った. 逆流していた
- 104 皮質静脈を順次塞栓, SSS の sinus packing を行った. 最終 DSA
- 105 で皮質静脈への逆流消失,循環時間及び静脈鬱滞の改善を認めたた
- 106 め, 手技を終了した(Fig. 4A, B, C). 使用した造影剤は 430ml であ
- 107 った. 鎮静, 挿管下に ICU に帰室した.
- 108 **第2回術後経過**:翌日頭部単純 CT, MRIにて血腫の増大や新規頭蓋
- 109 内出血, 梗塞認めなかった. しかし血腫周囲の脳浮腫が増悪, 正中
- 110 偏位も認めたため鎮静, 挿管下に定位的血腫除去術を施行した. 術
- 111 翌日頭部単純 CT で血腫の減量と新規頭蓋内出血無きことを確認し
- 112 鎮静を解除,抜管した.覚醒は良好で神経学的症状の悪化を認めな
- 113 かった. 術後 7 日目に DSA を行い, dAVF の消失(Fig. 5A, B, D, E)
- 114 と静脈鬱滞の改善(Fig. 5C, F)を確認した. その後の CT でも再出血
- 115 は認めず,正中偏位も改善した.軽度構音障害と左高度不全片麻痺
- 116 は残存(MMT 上肢 1/5, 下肢 3/5)したものの, 意識清明, 経口摂取
- 117 可能な状態で血腫除去術後 20 日目に mRS4 でリハビリテーション
- 118 病院に転院となった.

120 考察

121静脈洞の閉塞性変化を伴った isolated type の TS-SS 部 dAVFに 対する TVE の際には、閉塞静脈洞を通過して病変静脈洞に到達す 122ることが第一選択として試みられることが多く,同軸カテーテル 123 124 を使用してサポート性を上げることの有用性が報告されている。 125到 達 困 難 な 場 合 も あ る . こ の よ う な 症 例 で は .罹 患 静 脈 洞 を 小開頭下に直接穿刺されてきた 9). S 状静脈洞から頭蓋外への導出 126 127静 脈 で あ る MEV を 利 用 し て 罹 患 静 脈 洞 に 到 達 す る と い っ た 報 告 は 128 僅 か な が ら 認 め ら れ , M E V を 直 接 穿 刺 し て 罹 患 静 脈 洞 に ア プ ロ ー 129チした 4)、皮下静脈を直接穿刺し MEV を経由して TVE を行った 5)、 といった報告がある. 血管撮影室で経皮的に後頭部の MEVを 130 131 直接穿刺する場合は、体位の問題や体表エコーのガイドを要する など技術的に困難な場合も考えられ、いずれの方法でも侵襲度や 132技術的側面から、難易度は高くなる. 一方で、経大腿静脈アプロ 133 134ーチにより MEV を介して TVE を行ったという報告は認められな 135V١. 136今回我々は唯一の流出路になっていた DCV を経大腿静脈的に経 由することで容易に MEV に到達することができ、 TVE を行い得た. 137特別な設備や機材は不要で、直接穿刺による静脈洞損傷の危険性も 138なく、低侵襲に治療を行うことができ有用であったと考えられる. 139 140これまでの解剖屍体による報告 6.10)によると、多くの症例で MEV 141は認められ(63-89%), SSの中部より起始して頭蓋外へ導出し、皮下 142から後頭下三角までに及ぶ後頭下静脈叢を形成する.後頭下三角か らは、前椎骨静脈を介して椎骨動脈周囲静脈叢に達するルートと、 143DCV へ流入する経路に分かれる. DCV は第7頚椎レベルより尾側で 144

椎骨静脈に流入し、鎖骨下静脈にないしは腕頭静脈に直接流入する 145とされる、本症例では経大腿静脈的アプローチにより、鎖骨下静脈 146から DCV を介して MEV に到達し得た. 本症例では、複数存在する 147148罹患静脈洞が合流して MEV へ流出していることから、このルート 149 を介してのアプローチで全ての静脈洞にカテーテル誘導が可能であ 150ると考えられた.このアプローチの利点としては、ブラインド操作 151で 閉 塞 静 脈 洞 を 開 通 さ せ る こ と な く ,確 実 な ロ ー ド マ ッ プ 下 に 罹 患 静 脈 洞 に マ イ ク ロ カ テ ー テ ル を 誘 導 出 来 る こ と で あ る .し か し な が 152153ら, 前述の如く MEV は半数以上の症例で存在するとされるが, isolate された罹患静脈洞から MEV が導出静脈となっている症例は 154155 限られており、後頭下静脈叢から中枢側の DCV が認められない場 合も本アプローチを考慮することは難しい. さらに静脈解剖はバリ 156 157エーションが多いため、DCVの心臓側合流部の確認もアプローチを 成功させるためには重要であり、血管撮影上確認できるか否か検討 158する必要がある(我々の症例では右鎖骨下静脈に合流).本症例では 159160診 断 血 管 撮 影 の 結 果 か ら , DCV が 直 線 的 で あ り そ の 走 行 を 明 瞭 に 確 161認 で き る こ と か ら DCV-MEV 経 由 で 罹 患 静 脈 洞 に 到 達 す る 方 法 を 選 択した. 多発性 dAVF は脳血管撮影上静脈の拡張や閉塞,皮質静脈 162への逆流を示すことが多く、臨床的にも頭蓋内出血や神経学的脱落 163症状を来すなど重篤化しやすいことが報告されている。3). 本症例に 164おいても、二つの病変は共に皮質静脈への逆流、静脈洞閉塞の所見 165166を伴っていたため、出血に関与した病変の判断が難しかった.本症 例では,血腫部位近傍のTBV, Vein of Labbeへの逆流(Fig. 2B, Fig. 1673E)により、出血が生じたと考えた. 多発性 dAVF における脳出血 168

- 169 を引き起こす責任病変を考える上で, dAVF の形態分類も参考にす
- 170 べきである. 本症例では SSS 部は Borden type II, TS-SS 部は
- 171 Borden type III であり、静脈洞閉塞を伴った Borden type III 病変
- 172 の治療を先行させた. しかしながら, SSS 部 dAVF の皮質静脈逆流
- 173 も脳出血発症に関与した可能性も否定できない.
- 174 dAVF の 塞 栓 術 と 血 腫 除 去 術 の 順 序 及 び タ イ ミ ン グ は 議 論 を 要 す
- 175 る. 本症例では推定血腫量は 40ml と比較的多かったが、患者の意
- 177 ったことから二回の TVE を先行させ、静脈鬱帯を軽減させた後に
- 178 血腫除去術を行った. 塞栓術の前後で血腫の増大を認めず,動静脈
- 179 瘻の完全閉塞により静脈鬱滞も軽減していたため、出血の危険性が
- 180 低いと判断し低侵襲な定位的血腫除去術を選択することができた.
- 181 血腫量が多く、意識障害を伴った症例では血腫除去術を先行させる
- 182 必要があるが、この際には動静脈シャントによる静脈圧上昇により
- 183 止血が難しくなることが予測される. また、開頭術野に罹患静脈洞
- 184 が 含 ま れ る 際 に は 一 期 的 に 静 脈 洞 穿 刺 に よ る 治 療 が 追 加 で き る が ,
- 185 本症例では出血部位と罹患静脈洞の関係からこのような選択は難し
- 186 かったと考える.

- 188 結語
- 189 出血発症多発性 dAVF に対し二期的に TVE を施行し根治を得た.
- 190 TS-SS 部の病変に対しては、唯一の流出路となっていた MEV を経
- 191 大腿静脈的に経由して罹患静脈洞に到達することができ, TVEを行
- 192 い 得 た . 静 脈 洞 の 閉 塞 に か か わ ら ず , 本 ア プ ロ ー チ は 罹 患 静 脈 洞 へ

- 193 の到達ルートとして有用であると考えられた.
- 194
- 195 利益相反の開示
- 196 筆頭著者および共著者全員が本論文に関連し開示すべき利益相反は
- 197 ない.
- 198
- 199 <u>文献</u>
- 200 1) van Dijk JM, terBrugge KG, Willinsky RA, et al. Clinical
- 201 course of cranial dural arteriovenous fistulas with long-term
- 202 persistent cortical venous reflux. Stroke 2002; 33: 1233-1236.
- 203 2) Barnwell SL, Halbach VV, Dowd CF, et al. Multiple Dural
- Arteriovenous Fistulas of the Cranium and Spine. AJNR Am J
- 205 Neuroradiol 1991; 12(3): 441-445.
- 206 3) van Dijk JM, terBrugge KG, Willinsky RA, et al. Multiplicity
- of dural arteriovenous fistulas. J Neurosurg. 2002; 96(1):
- 208 76-78.
- 209 4) Rivet DJ, Goddard JK 3rd, Rich KM, et al. Percutaneous
- 210 transvenous embolization of a dural arteriovenous fistula
- through a mastoid emissary vein. J Neurosurg. 2006; 105(4):
- 212 636-639.
- 213 5) Hiramatsu M, Sugiu K, Tokunaga K, et al. Percutaneous
- 214 transvenous embolization of transverse / sigmoid sinus dural
- 215 arteriovenous fistula through the mastoid emissary vein.
- 216 JNET 2009; 3: 112-117.

- 217 6) Reis CV, Deshmukh V, Zabramski JM, et al. Anatomy of the
- 218 mastoid emissary vein and venous system of the posterior neck
- region: neurosurgical implications. Neurosurgery. 2007; 61(5
- 220 Suppl 2): 193-200; discussion 200-201.
- 221 7) Alvernia JE, Fraser K, Lanzino G. The occipital artery: a
- microanatomical study. Neurosurgery. 2006; 58(1 Suppl):
- 223 ONS114-122; discussion ONS114-122.
- 224 8) Sugiu K, Tokunaga K, Nishida A, et al. Triple-catheter
- technique in the transvenous coil embolization of an isolated
- sinus dural arteriovenous fistula. Neurosurgery. 2007; 61(3
- 227 Suppl): 81-5; discussion 85.
- 228 9) Akioka N, Kuwayama N, Kuroda S Surgical transvenous
- 229 embolization by direct puncture of the superior sagittal sinus
- for the treatment of dural arteriovenous fistula of the sinus
- 231 confluence. JNET 2015; 9: 78-83.

- 232 10) San Millan Ruiz D, Gailloud P, Rufenacht DA, et al. The
- 233 Craniocervical Venous System in Relation to Cerebral Venous
- 234 Drainage. AJNR Am J Neuroradiol. 2002; 23(9): 1500-1508.

236 Fig. 1

A: A head computed tomography scan performed at the time of admission shows intracranial hemorrhage in the area of right frontal lobe with minimal midline shift. B, C: T2-weighted images show multiple flow void signs on bilateral hemisphere. D:

A magnetic resonance angiogram shows abnormal high signal area at the right transverse-sigmoid sinus (arrow).

243

244 Fig. 2

245Right common carotid angiograms (A: anteroposterior view, B: 246lateral view, arterial phase, C: lateral view, venous phase) show multiple dural arteriovenous fistulae (dAVF). One locates 247248at the right transverse-sigmoid sinus draining into the right 249temporobasal, mastoid emissary veins and the vein of Labbe, the 250other locates at the superior sagittal sinus draining into cortical 251veins. Note the arrowheads showing the cortical venous reflux toward the site of hematoma. 252

 $2\,5\,3$

254 Fig. 3

A, B: Lateral view of the right occipital artery angiograms (A: 255256arterial phase, B: late arterial phase) show the dural 257arteriovenous fistula o f the transverse-sigmoid sinus associated with cortical venous reflux. Note the enlarged 258259mastoid emissary vein draining into the deep cervical vein (arrows). C: A right anterior oblique view of the right common carotid angiogram shows the deep cervical vein draining into the right subclavian vein (arrows). D: A non-subtracted fluoroscopic image shows the microcatheter advanced near the shunt through the mastoid emissary vein (arrows) and the first coil. A black arrow indicated the tip of the 4 french Cerulean catheter placed in the deep cervical vein. E: A lateral view of the right occipital artery angiogram during embolization shows remaining shunt into another sinus space associated with cortical venous reflux (black arrowhead; temporobasal vein, white arrowhead; vein of Labbe). F: The final coil configuration after the transvenous embolization via mastoid emissary vein.

Fig.4

- 274 A, B: Lateral view of the left common carotid angiograms (A:
- 276 arteriovenous fistula) show complete obliteration of multiple

before, B: after embolization of superior sagittal sinus dural

dural arteriovenous fistulae. C: The final coil configuration

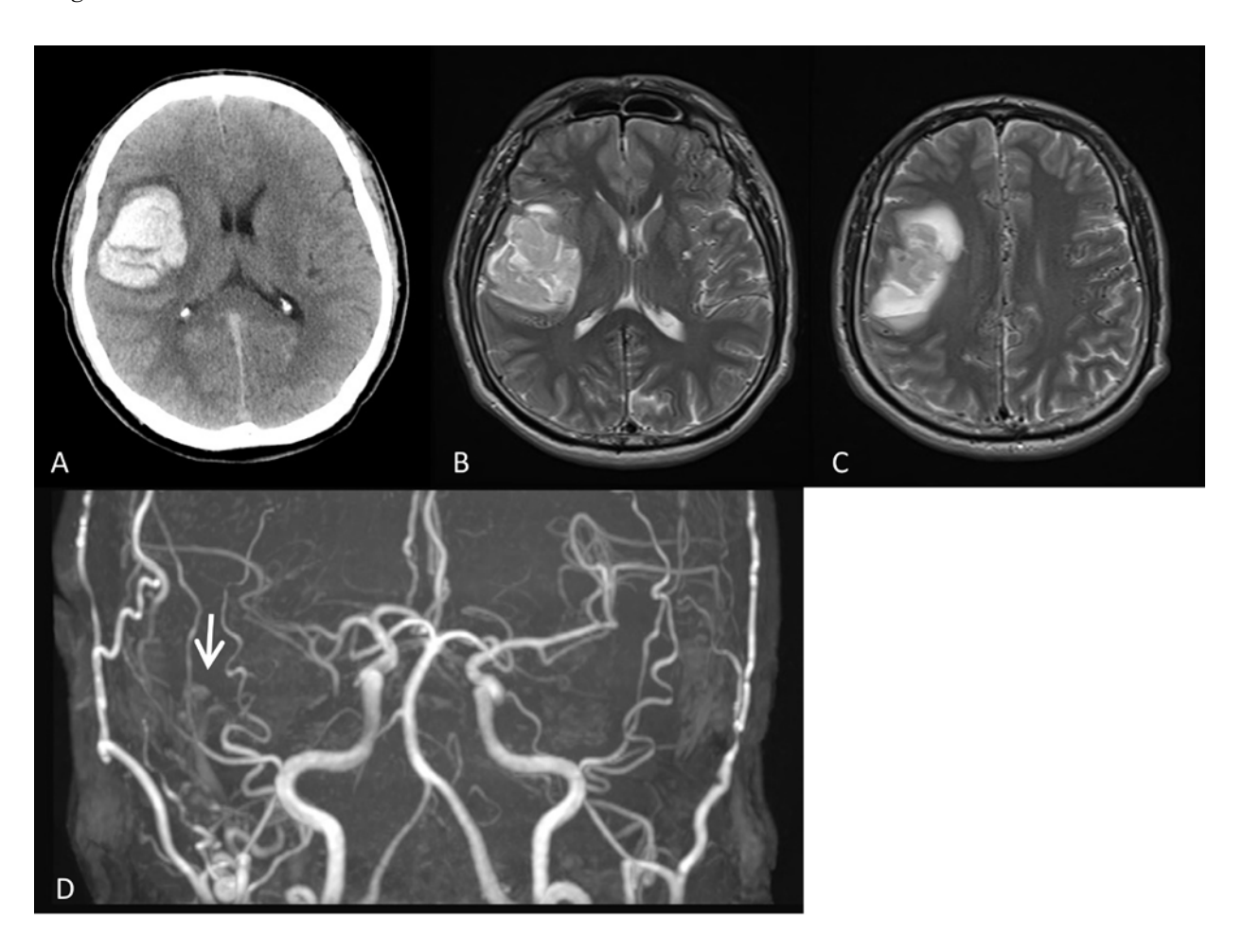
- 270 afteriovenous fistura, show complete oblitteration of multiple
- 278 after the transvenous embolization.

- 280 Fig. 5
- 281 Right common carotid angiograms (A: anteroposterior view, B:
- 282 lateral view, arterial phase, C: lateral view, venous phase) and
- 283 the left common carotid angiograms (D: anteroposterior view,

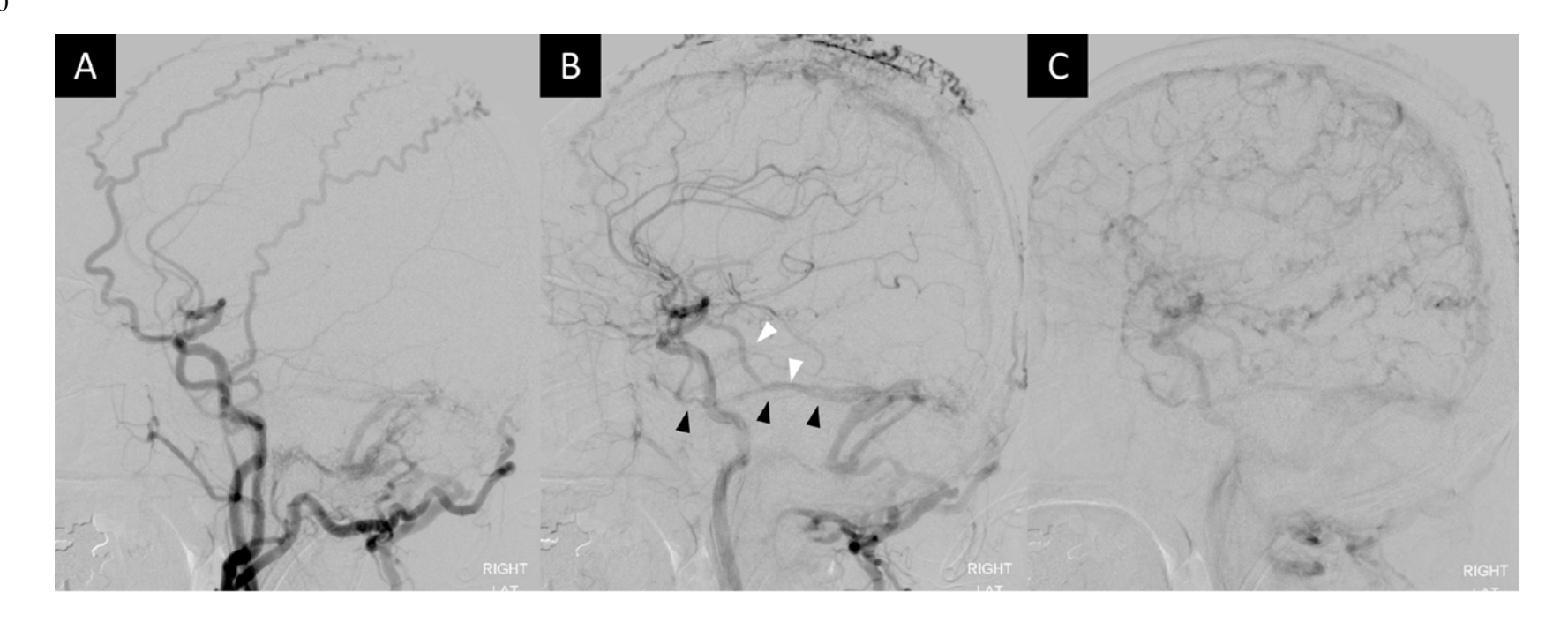
arterial phase, **E**: lateral view, arterial phase, **F**: lateral view, venous phase) 1 week after the embolization show no recurrence of fistulae.

 $2\,8\,7$

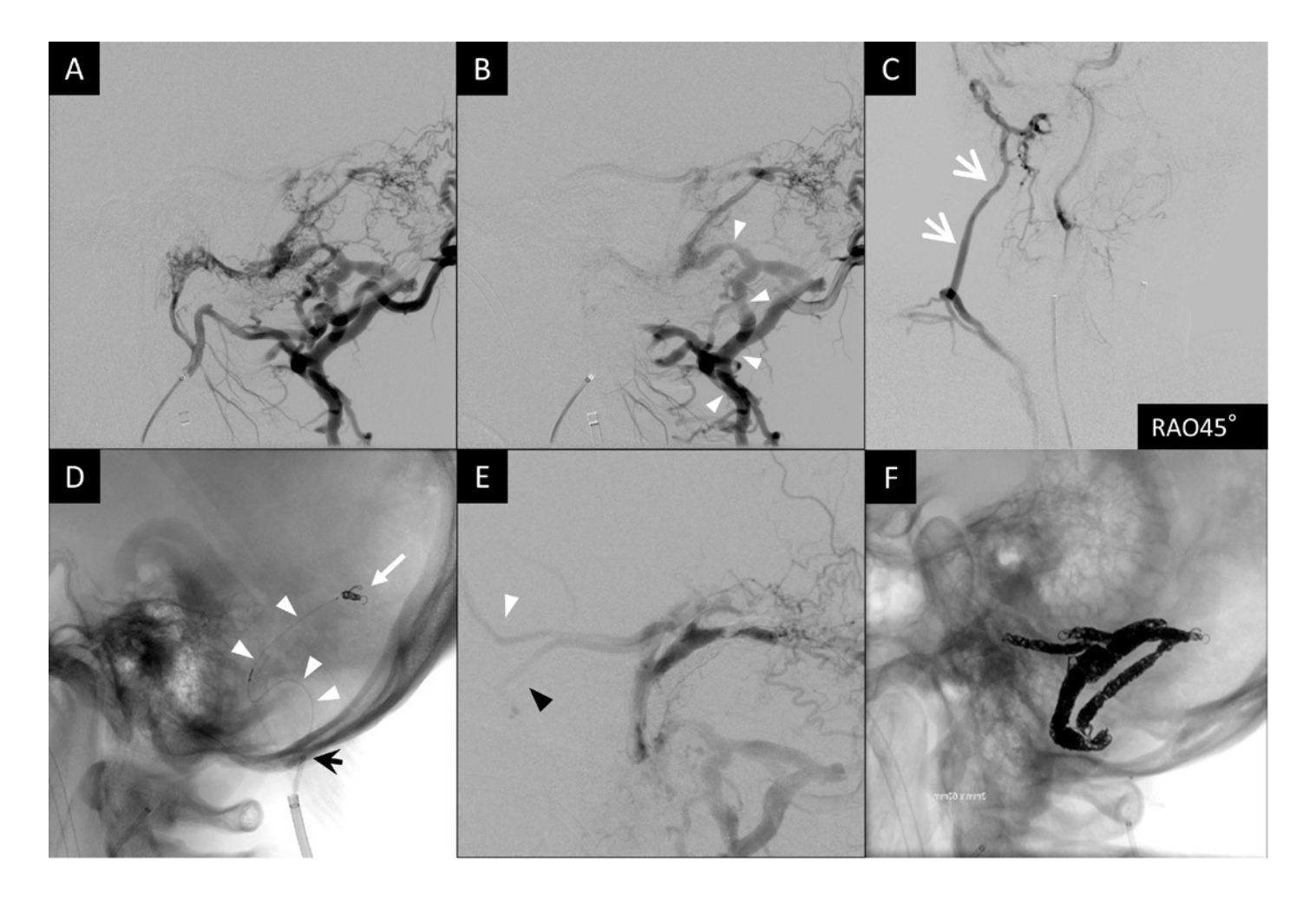
288 Fig.1



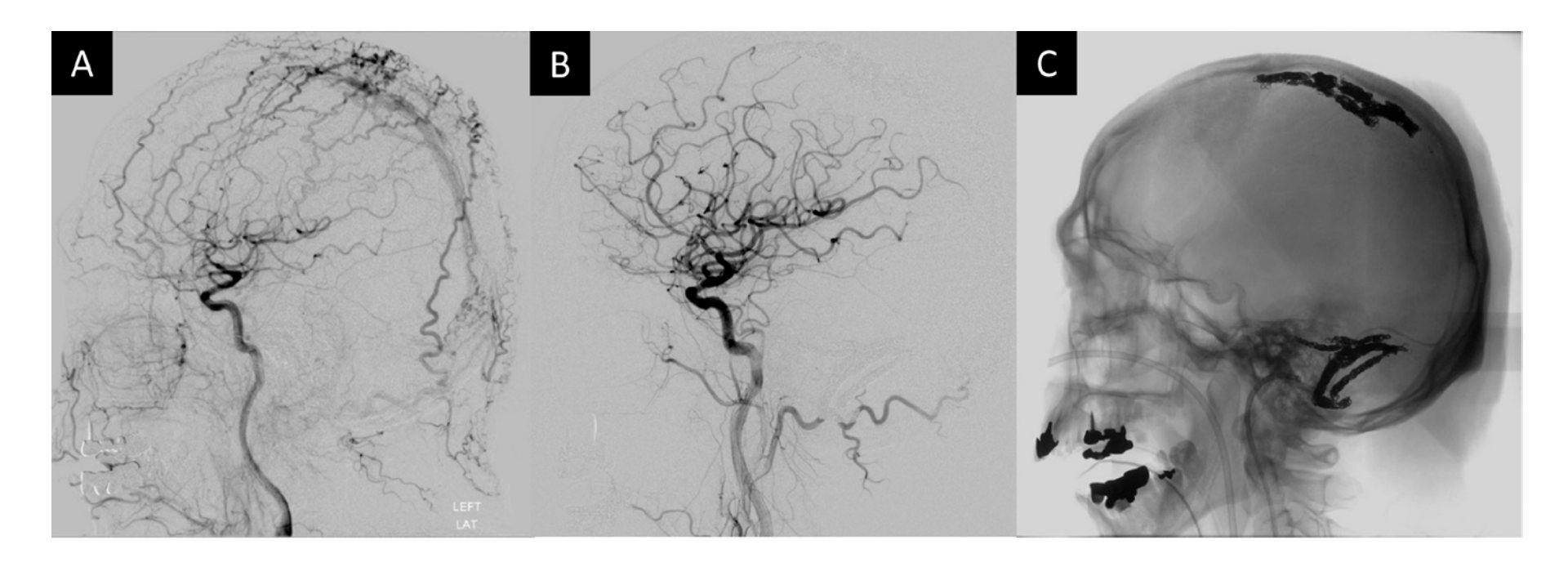
289 Fig.2



294 Fig.3



295 Fig.4



299 Fig. 5

